

بررسی اثر فرکانس پروازی حرکت فراز و فرود یک حشره

محمدحسن جوارشکیان^۱، امیررضاقیهی^۲، علی صحاف^۳، احمد پارسانیا^۴

دانشگاه فردوسی مشهد، دانشکده مهندسی، گروه هوا و فضا، صندوق پستی ۹۱۷۷۵-۱۱۱۱

شبیه سازی حرکت نوسانی و پیچشی روی بال مستطیلی حل کردند. در سال ۲۰۰۳ تانسر و کایا [۷] حرکت نوسانی بالارونده و پایین رونده را با استفاده از بالواره ناکا ۰۰۱۴ در حالت دو بعدی شبیه سازی کرده و دلایل به وجود آمدن نیروی رانش را آنالیز و بررسی کردند. در سال ۲۰۰۱ پرنسین-سیریراک یک ریزپرند ساختند [۸]. آن ها در ساخت از یک بال از جنس آلیاژ تیتانیوم استفاده کردند که وزن کل ریزپرند آنها ۱۰/۵ گرم بود به طور موقعيت آمیزی برای مدت ۱۸-۵ ثانیه پرواز کرد. در سال ۲۰۰۵ در دانشگاه دلاور در آمریکا، آگراوال حرکت حشرات را شبیه سازی کرده و حرکت نوسانی چند بعدی و حرکت پیچشی را دری آن مطالعه کرد تا بتواند شیوه پرواز مرغ مگس خوار را شبیه سازی کند ولی نتوانست ریزپرند بسازد [۹]. در سال ۲۰۰۶ لین و هو و یانگ نیروی برآ و نیروی رانش را برای یک وسیله نوسانی پرنده سان با حرکت نوسانی ساده را گزارش کردند [۱۰]. آنها توانتند بفهمند که یک بال نوسانی انعطاف پذیر در یک سرعت پرواز مشخص نیروی برآی آن با افزایش فرکانس نوسان بیشتر خواهد شد و همین اثرباره فرکانس نوسان مشابه سرعت پرواز با کم کردن زاویه حمله افزایش بیدا خواهد کرد البته با از دست دادن مقداری نیروی برآ. حرکت نوسانی نیروی رانش لازم برای آن سرعت پرواز را تولید می کند. سرعت پرواز و تغییرات زاویه حمله با هم ترکب شده و نیروی برآی لازم برای پرواز را تولید می کنند در این اواخر طراحی همراه با دقت بالا در یک ریزپرند، برای اندازه گیری نیروی برآ و پسا و ممان های چرخشی و غلتشی به وسیله سوهاریونو و دیگران گزارش شده است [۱۱].

ولی اندازه گیری های آنها فقط برای حالت بال ثابت بوده نه بال نوسانی که بحرانی تر می باشد. فقط سینگ و دیگران [۱۲] روی یک دستگاه تجربی که حرکت بال زدن نوسانی را شبیه سازی می کرد مطالعه کرده و در گزارش مقداری نیروی رانش به دست آورده بودند. این روش به کارگرفته شده توسط آن ها برای به دست اوردن نیروی رانش هنگامیکه دو بال در دو زاویه پیچ مختلف قرار دارند نیز به کار گرفته شده و همچنین اثر تغییر فاز پیچ در ایجاد نیروها نیز به صورت تجربی بررسی شد. درخصوص شبیه سازی لاریجانی [۱۳] یک مدل آیروالاستیک غیرخطی برای پرواز بال های نوسانی در سال ۲۰۰۱ ارایه کرد. این تحقیق یک راهنمای بود برای هونگ [۱۴] تا حرکت نوسانی ریزپرند ها را به صورت عددی آنالیز کند. با توجه به مراجع [۱۰] و [۱۶] ما متوجه می شویم که در مدل کردن حرکت سه بعدی نوسانی، بسیاری از پرندگان، در مقطع بال ها از بالواره های استاندارد ناکا استفاده شده است. ولی بال های نوسانی واقعی ریزپرند ها از لحاظ حجم و وزن محدود شده است. بنابراین جالب به نظر نمی آید که از مقطع بال سری ناکا استفاده کیم. با توجه به این مساله در سال ۲۰۰۹ تسانی و فو با شبیه

چکیده

در این تحقیق، جریان غیردائم لج گذرنده از روی بالواره حین حرکت فراز و فرود (Plunging) توسط یک روش عددی شبیه سازی شده است. در روند عددی از روش حجم محدود بر مبنای الگوریتم فشار مبنا به همراه مدل توربولانس اسپلائر المارس استفاده گردیده است. اثر حرکت فراز و فرود خالص آرام (۰/۱۵) و سریع (۰/۴۶) با هم مقایسه شده و اثر فرکانس پروازی روی تولید نیروی برآ و رانش بررسی شد. همچنین نحوه تشکیل دنباله گردابه ها از لبه حمله و لبه فرار و اثر آنها روی نیروهای آیرودینامیکی بررسی شده است. بمنظور اعتبار سنجی شبیه سازی انجام شده مقسمتی از محاسبات با نتایج تجربی و عددی منتشر شده مقایسه شده که روند شبیه سازی را تایید می نماید.

واژه های کلیدی: حرکت فراز و فرود- دنباله گردابه- ریزپرند.

مقدمه

نیروی برآ و رانش در هواپیماهای تجاری توسط وسایل با جریان دائم تولید می شود، در مقابل پرندگان حقیقی همان نیروها را با استفاده از آیرودینامیک غیردائم به صورت بال زدن و شناوری بال به دست می آورند. تحلیل جریان غیردائم در عده های رینولدز پایین و متوسط در سال های اخیر از جذبیت بسیاری به دلیل کاربردشان در ریزپرند ها و ارتباط آنها با حشرات و پرندگان برخوردار هستند. اندازه ابعاد مختلف ریزپرند ها (MAVs) براساس طبقه بندی موسسه پروژه های تحقیقاتی پیشرفته دفاعی آمریکا به ۱۵ سانتیمتر و سرعت پرواز آنها به ۲۰ متر بر ثانیه محدود شده است، همچنین رینولدز آنها باید کمتر از 10^6 باشد، این محدوده عدد رینولدز باعث اتفاق افتادن پدیده جداگش لایه ای روی سطح جسم می شود. بنابراین بحث ها در این زمینه مربوط به طراحی و ساخت وسایل ریزپرند ها فوک سبک و با ابعاد بسیار کوچک و همینطور بدست آوردن نیروی برآی کافی در این ابعاد می باشد و همینطور ابعاد کوچک باعث می شود که اثرات سه بعدی بودن در میدان جریان احتمالا بیشتر وارد شود. وسایل ریزپرند ها کوچک هستند و سرعت پایینی دارند بنابراین کنترل پرواز این وسایل بسیار تخت تاثیر بادها و دیگر اغتشاشات خارجی قرار می گیرد. برای پیش بینی نیروی برآ، ما احتیاج داریم که کل میدان جریان نوسانی و غیردایم را حل کنیم. بررسی کامل این وسائل به دو مرحله تقسیم می شوند: اول شبیه سازی میدان جریان آنها و مرحله دوم طراحی و ساخت آنها.

به عنوان مروج بر کارهای گذشته باید به کارهای زیر اشاره کنیم. در سال ۲۰۰۰ نف و هامل [۶] میدان جریان دو و سه بعدی را برای حرکت بالا و پایین و حرکت چرخشی روی بالواره کرده و معادله اویلر را برای

۱- دانشیار گروه مکانیک و هوا و فضا

Amir_jpl@yahoo.com

۲- دانشجوی کارشناسی ارشد هواپیما گرایش آیرودینامیک، ۰۹۳۸۹۰۸۳۲۹۴

۳- دانشجوی کارشناسی ارشد هواپیما گرایش آیرودینامیک

۴- دانشجوی کارشناسی ارشد هواپیما گرایش آیرودینامیک

آن برخورد دادو به این وسیله نیروی رانش میانگین را حساب کرد. فرضیه نولر - بتز در مورد دنباله گردابه های ایجاد شده به کار نمی رود. براساس فرضیه کلین مقدار کل گردش میدان جریان ثابت باقی می ماند.

این یعنی اگر باند گردشی دور بالواره به خاطر تغییر در زاویه حمله در اثر حرکت نوسانی تغییر کرد باید یک گردش برابر ولی در جهت عکس در دنباله بالواره ایجاد شود [۲۳]. در ادامه کار در سال ۱۹۳۵ ون کارمن و برگس پسای ایجاد شده با توجه به محل قرار گیری و جهت دنباله گردابه ها ایجاد پسا را توجیه کردند. پلاتر و تانسر [۲۵] در سال ۱۹۹۶ نیروی رانش و بازده پیشرانی را به وسیله کد ناوبر استوکس ۱ روی بالواره ناکارمن در حالت بالا و پایین خالص بررسی کردند در سال ۱۹۹۷ جونز و پلاتر [۲۶] نتایج عددی خود را که برای جریان دو بعدی تراکم ناپذیر غیر دائم بوسیله کد به روش پانل انجام گرفته بود را گزارش کردند و دریافتند که تغییر ضخامت بالواره بر روی نیروی رانش یک اثر جزئی دارد. در سال ۱۹۹۸ تانسر و دیگران [۲۷] با استفاده از کد تراکم پذیر دو بعدی ناولیراستوکس برای بالواره ناکارمن ۰۰۱۲ ضرایب بازده پیشرانی و رانش را برای حرکت بالا و پایین خالص در رینولدز ۱۰۶ گزارش کردند و دریافتند که مقدار بیشینه نیروی رانش تابعی از بیشینه سرعت نوسانی بی بعد شده [۲۸] $kh = 0.35$ می باشد و توسط مقدار $kh = 0.35$ محدود شده است زیرا در بالاتر از این مقدار پذیره و اماندگی دینامیکی پذیره و اماندگی دینامیکی شود. در ادامه کار پلاتر [۲۷] و دیگران بوسیله کد ناوبر استوکس در عدد رینولدز ۲۰۰۰ محاسبات خود را انجام داده و دریافتند که برای یک بیشینه سرعت نوسانی بی بعد شده مشخص بهتر می باشد که از فرکانس کاهیده (k) بالاتر و دامنه نوسان (h) پایین تر استفاده کنیم. در سال ۲۰۰۶ سارکار و ونکارمن [۲۸] اطی شبهی سازی عددی روی بالواره بالا و پایین شونده خالص با استفاده از روش گردابه گسته دو بعدی نتایج حاصل از جریان غیرسینوسی را بررسی کرده و متوجه شدند که در این حرکت مقدار ضریب رانش بیشتری بدست می آید اما مقدار بازده پیشرانی تغییر چندانی نمی کند. نتیجه اینکه در حرکت خالص بالا و پایین، نیروی رانش در هر فرکانسی تولید می شود. پدرزائی و دیگران [۲۴] در سال ۲۰۰۶ با بررسی دو بعدی جریان تراکم ناپذیر لزج ناولیر استوکس در رینولدز ۵۰۰ پذیره و داشتند که اولاً بال های انعطاف پذیر بازده بالاتری نسبت به انواع صلب آن دارند، دوماً بالواره های سنگین تر رانش بیشتری با توان لازم ورودی کمتر نسبت به انواع سبکتر آن تولید می کنند. بنابراین بالواره های سنگین تر بازده بالاتری دارند. هدف از این تحقیق، شبهی سازی برای حرکت فراز و فرود خالص در جریان با عدد رینولدز برابر 1850 و سرعت جریان آزاد 0.20 متر بر ثانیه و بر روی بالواره ناکارمن 0.12 می باشد. h به عنوان دامنه فراز و فرود، C طول و تر بالواره $W = 2\pi f$ تعریف می شود.

$$\text{همچنین } St = \frac{whc}{U_\infty} \text{ عدد اشتورهال می باشکه به صورت}$$

شور. در انتهای محاسبات با نتایج تجربی جونز و همکارانش و نتایج عددی دقت مرتبه بالای جیمسون [۲] در سال ۲۰۰۹ مقایسه و صحه گذاری شده است.

معادلات اساسی

معادلات اساسی که بقای جرم، ممنتوم و اسکالار را بیان می کند در حالت برداری و مستقل از سیستم مختصات به صورت زیر بیان می شوند:

سازی بال با پوسته صفحه ای و بررسی بازده و ویژگی های آبرو دینامیکی ریزپرنده و بخصوص با محاسبه نیروی برآی میانگین به عنوان وزن بحرانی در حرکت نوسانی به این نتیجه رسیدند که برای رسیدن به یک ریزپرنده فوق سبک و کوچک، وزن باید کمتر از $8/75$ گرم باشد [۱۵].

تفاوت و نحوه حرکت حشره ها و پرندهان

تفاوت دسته نوسانی حشره ها و نوسانی پرنده ها مربوط به بزرگترین تفاوت بین پرندهان و حشرات می باشد که در تغییرات زاویه نصب بال آنها است [۵]. تغییرات این زاویه در پرندهان در حدود چند درجه است در صورتیکه در حشرات این زاویه به مقدار زیاد و به سرعت می تواند تغییر کند (در حدود 100 درجه در انتهای هر مرحله) پرندهان به یک سرعت اولیه برای پرواز نیاز دارند که این سرعت را با دویدن یا پرش به دست می آورند، در حالیکه حشره ها به سرعت اولیه نیاز ندارند. پرندهان و حشرات حرکت رو به جلو خود (نیروی رانش) را با تغییر دادن زاویه نصب بال در حین حرکت نوسانی بدست می آورند که در پرندهان به دلیل تغییر کم زاویه نصب نیروی رانش سیار کم است و بنابراین نمی تواند حرکت شناوری انجام دهد [۲].

بر عکس بدليل داشتن نسبت سرعت بالا می توانند مسافت بیشتری را نسبت به حشرات پرواز کنند که در این تحقیق نحوه تولید این نیروها در پرندهان و حشرات را با استفاده از تولید دنباله گردابه های متقاضان در پرندهان و غیر متقاضان در حشرات به صورت کامل توضیح می دهد. سینماتیک بال حشرات امکان تغییرات سریع و بزرگ زاویه نصب بال را به حشرات می دهد، بنابراین هنگامیکه یک تغییر ناگهانی در شرایط پرواز به وجود باید، ضریب برای لازم باید در کوتاه ترین بازه زمانی تولید شود.

مروری بر کارهای گذشته نشان می دهد که تنها در فرکانس ها و دامنه های نوسان بالا می توان به ضریب برآی میانگین لازم برای غلبه بر این تغییرات ناگهانی دست یافت [۴]. حرکت بال نوسانی، از ترکیب دو حرکت پیچشی و فراز و فرود تشکیل شده، که در این قسمت به حرکت فراز و فرود خالص پرداخته شده است. در این نوع حرکت به بررسی چهار نوع گردابه به وجود آمده و اثرات ناشی از آنها پرداخته شده است. این چهار اثر [۵] ناشی از گردابه های به وجود آمده عبارتند از:

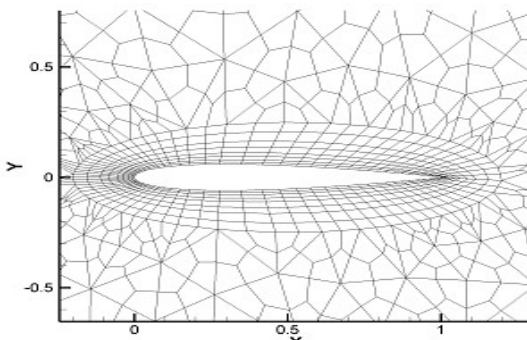
۱. گردابه تولید کننده پسا (مسیر گردابه های کارمن)
 ۲. گردابه های تولید کننده برآ و رانش (مسیر گردابه های کارمن معکوس منحرف شده)
 ۳. گردابه های تولید کننده رانش (مسیر گردابه های کارمن معکوس)
 ۴. گردابه های خنثی (مشخص کننده پسا صفر)
- دسته اول اصولاً به وسیله جدایش گردابه های لبه فرار ایجاد می شوند. پذیره تولید نیروی رانش و برآی بال های نوسانی یک ایده بود که براساس مطالعات مقدماتی نولر [۲۰] و بتز [۲۱] بوده است که به گزارش آنها حرکت نوسانی بال باعث ایجاد زاویه حمله موثر می شود.
- اثر نولر - بتز: عمل بال زدن تولید نیروی برآ می کند و یک مولفه در جهت سرعت جریان آزاد دارد.

دو منبعی که در تولید رانش مهم هستند عبارتند از:

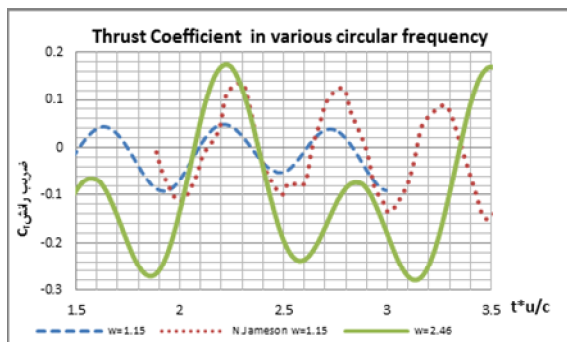
- ✓ دنباله گردابه های لبه فرار
- ✓ نیروی حاصل از برخورد گردابه های لبه فرار با بال اثر نولر و بتز به وسیله کازمر [۲۲] در سال ۱۹۲۲ تأیید شد که روش او برای بررسی این اثر این بود که بال را ساکن فرض کرده و یک جریان سینوسی با

نتیجه‌گیری

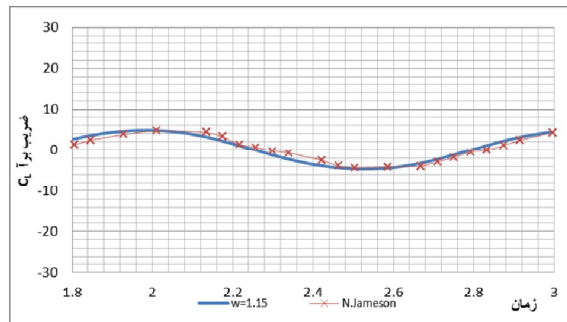
شبیه‌سازی جریان غیردایم گذرنده از روی بالواره در حرکت فراز و فرود با استفاده از نوسان جریان این مطلب را تایید می‌کند که در فرکانس‌های بالای کافی، دنباله گردابه‌ها به صورت غیرمتقارن در خواهد آمد. نتیجه اینکه در حرکت خالص فراز و فرود، نیروی رانش در هر فرکانسی تولید می‌شود ولی نیروی برآ فقط در فرکانس‌های بالا تولید می‌شود.



شکل ۱- شبکه بی سازمان تولیدشده روی ناکا ۰۰۱۲



شکل ۲- مقایسه ضریب رانش در فرازوفرود آرام و سریع



شکل ۳- مقایسه ضریب برآ و صحه گذاری در فرازوفرود آرام و سریع

$$\frac{\partial \rho}{\partial t} + \operatorname{div}(\rho \vec{V}) = o \quad (1)$$

$$\frac{\partial(\rho \vec{V})}{\partial t} + \operatorname{div}(\rho \vec{V} \otimes \vec{V}) = \vec{S}_v \quad (2)$$

$$\frac{\partial(\rho \phi)}{\partial t} + \operatorname{div}(\rho \vec{V} \phi - \vec{q}) = \vec{S}_\phi \quad (3)$$

چگالی، ρ بردار سرعت و ϕ به عنوان یک متغیر مستقل اساسی (انرژی) است. \vec{q} بردار شار اسکالر است و از قانون فوریه بدست می‌آید:

$$\vec{q} = \Gamma_\phi \operatorname{grad} \Phi \quad (4)$$

معادلات (۱)، (۲) و (۳) توسط روش حجم محدود گستته شده، توسط الگوریتم فشار مینا (سیمپل) به روش ضمنی حل شده است.

شبیه سازی های عددی انجام شده در مطالعات مربوط به حرکت فراز و فرود خالص، برای شبیه سازی حرکت از رابطه زیر استفاده می شود:

$$y(t)/c = h \sin(2\pi ft)$$

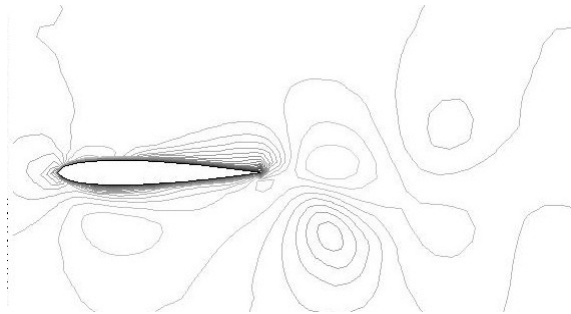
در تحقیق های عددی ارائه شده، نشان داده شده که در حرکت شناوری مشخصات آیرودینامیکی به دست آمده در دو بعدی با سه بعدی تفاوت چندانی ندارند [۵] بنابراین ما در ادامه نتایج دو بعدی به دست آمده را با نتایج سه بعدی انجام شده در کارهای گذشته مقایسه خواهیم کرد.

نتایج

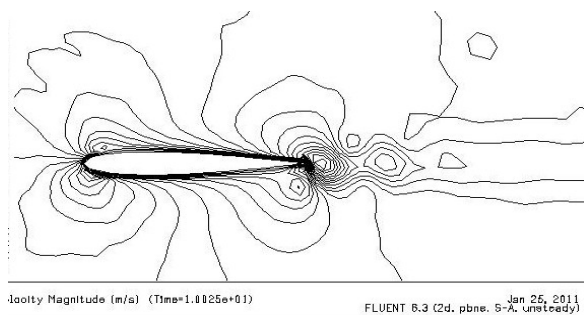
شکل (۱) قسمتی از شبکه به همراه ابرفویل را نشان میدهد. در نزدیکی مقطع اشاره شده از شبکه با سازمان و در فاصله دورتر از شبکه بی سازمان استفاده گردیده است. در این قسمت نتایج شبیه سازی برای دو حالت حرکت فراز و فرود آرام و سریع آورد شده است. در قسمت اول نتایج حالت آرام، که در این مرحله حرکت فراز و فرود با $h=0.08c$ و $St=1/5$ مورد بررسی قرار گرفت، این اعداد براساس نمونه مورد آزمایش با $St=1/46$ در تحقیق جونز و همکارانش [۱] می‌باشد. با تحلیل ضرایب برآ و پسا برای این بالواره با حرکت فراز و فرود آرام به این نتیجه رسیدیم که فرکانس دنباله گردابه‌ها که از ضریب برآ به دست می‌آید با فرکانس حرکت فراز و فرود بالواره برابر می‌باشد مقدار بیشینه برآ برابر $4/78$ و کمینه برآ برابر $4/803$ - بدست آمد(شکل ۳). بعد از گذشتن از حالت گذار و رسیدن به یک حالت پایدار مقدار ضریب برآی میانگین زمانی یک مقدار نزدیک به صفر (0.023) تخمین زده شد. در مقابل بیشینه ضریب پسا 0.04 و کمینه ضریب پسا 0.012 بدست آمد، که مقدار میانگین زمانی کلی ضریب رانش 0.010 . تخمین زده شد. می‌توان به طور خلاصه اعلام کرد که بالواره تحت حرکت فراز و فرود آرام نیروی برآ تولید نمی‌کند که در نتیجه متقاضی بودن شکل گیری دنباله گردابه‌ها می‌باشد.

در مرحله حرکت فراز و فرود سریع $h=0.12c$ نیز مورد بررسی قرار گرفت که این اعداد مربوط به نمونه مورد آزمایش دیگری با $St=1/5$ در تحقیق جونز و همکارش [۱] می‌باشد. در این حالت مقدار بیشینه ضریب پسای لحظه‌ای برابر 0.018 و مقدار بیشینه ضریب رانش لحظه‌ای برابر 0.027 (شکل ۲) و مقدار میانگین زمانی ضریب برآ برابر 0.052 بدست آمد.

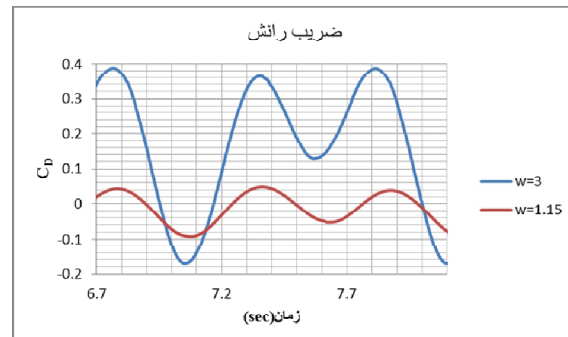
7. I. H. Tuncer and M. Kaya, "thrust generation caused by flapping airfoils in a biplane configuration," *journal of aircraft*, pp. 509-515, 2003.
8. T. Nick pornsin, Y. C. Tai, H. Nassaf, and C. M. Ho, "titanium-alloy MEMS wing technology for a micro aerial vehicle application," *sensors and actuators*, pp. 95-103, 2001.
9. S. K. Banala and S. K. Agrawal, "design and optimization of mechanism for out of plane insect wing like motion with twist," *Journal of mechanical design*, 2005.
- 10.C. S. Lin, C. Hwu, and W. B. Young, "the thrust and lift of an ornithopter's membrane wing with simple flapping motion" *aerospace science and technology*, 2006.
- 11.A. suhariyono, j. h. kim, n. s. goo, h. c. park, and k. j. yoon, "design of precision balance and aerodynamic characteristic measurement system for micro aerial vehicles," *aerospace science and technology*, vol. 10, pp. 92-99, march 2006.
- 12.B. Singh, M. Ramasamy, i. Chopra, and j. g. Leighman, "Insect-based flapping wing for micro hovering air vehicles," in *60th annual forum of the american helicopter society june2004*.
- 13.R. F. Larijani and j. d. Lelaurier, "A nonlinear aeroelastic model for the study of flapping wing flight," *AIAA:progress in aeronautics and astronautics* vol. 195, pp. 399-428, 2001.
- 14.s.-m. Huang, "Numerical simulation of flow over a flapping wing," vol. phd: National Cheng Kung 2004.
- 15.b.-j. Tsai and y.-c. Fu, "Design and aerodynamic analysis of a flapping-wing micro aerial vehicle," *aerospace sciense and technology*, pp. 383-392, 2009.
- 16.c. Galinski and R. Zbikowski, "some problems of micro air vehicles developement," *bulletin of the polish academy of sciences2007*.
- 17.s. a. Ansari, R. Zbikowski, and k. Knowles, "Non-linear unsteady aerodynamic model for insect-like flapping wings in the hover.part 2:implementation and validation," *Aerospace engineering*, vol. 220, pp. 169-186, 2006.
- 18.s. a. Ansari, r. Zbikowski, and Knowles, "Non-linear unsteady aerodynamic model for insect-like flapping wing in the hover.part 1:methodology and analysis," *Aerospace engineering*, vol. 220, pp. 61-83, 2006.
- 19.g. k. Taylor and R. Zbikowski, "Nonlinear time-priodic models of the longitudinal flight dynamics of desert locust *Schistocereca gregaria*," *Royal society interface*, pp. 197-221, 2005.
- 20.r. Knoller, "Die gesetze des luftwiderstandes," in *Flugund Motorchnik*. vol. 3 wien, 1909, pp. 1-7.
- 21.[16] Betz, "Ein beitrag zur erklarung des segelfluges," *Zeitschrift fur flugtechnik und motorluftschiffahrt*, vol. 3, pp. 269-272, 1912.
- 22.R. Katzmayr, "Effect of priodic changes of agle of attack on behavior of airfoilos," 1992.
- 23.J. Katz and a. Plotkin, Low speed aerodynamics, 2nd ed.: *Cabbridge university press*, 2001.
- 24.M. F. Platzer, J. Young, Jones, and Lai, "Flapping wing aerodynamics," *AIAA*, vol. 46, 2008.
- 25.I. H. Tuncer and m. f. platzer, "Thrust generation due to airfoil flapping," *AIAA*, vol. 34, pp. 324-331, 1996.
- 26.Jones and M. F. Platzer, "Numerical computation of flapping-wing propulsion and power extraction," in *35th Aerospace sciences meeting and exhibit*, 1997.
- 27.i. h. Tuncer, r. Walz, and m. f. platzer, "A computational study on adynamic stall of a flappinf airfoil," in *16th Applied Aerodynamics Conference*, 1998.
- 28.S. Sarkar and K. Venkatraman, "Numerical simulation of incompressible viscous flow past a heaving airfoil," in *Int.J.Numer.Meth.Fluids*. vol. 51, 2006, pp. 1-29.



شکل ۴- منحومه تولید جفت گردابه ها در پشت بالواره در $w= ۲.۴۶$



شکل ۵- منحومه تولید جفت گردابه ها در پشت بالواره در $w= ۳$



شکل ۶- مقایسه ضریب رانش تحت تاثیر فر کانس پروازی

مراجع

1. K.D.Jones , C.M.Dohring and M.F.Platzer ,Experimental and computational investigation of the Knoller-Betz effect , *AIAA Journal*, v. 36 , pp. 780-783.
2. A.Jameson and C.Liang,Unsteady Flow Past a Plunging Airfoil ,*National Institute of Aerospace*, 2009.
3. Z. J. Wang, Dissecting insect flight,*Fluid Mechanics*, vol. 37, 2005, pp. 183-210
4. I.H.Tuncer and M.Kaya, thrust generation caused by flapping airfoils in a biplane configuration, *journal of aircraft*, 2003, pp. 509-515
5. B.J. Tsai and Y.C. Fu, Design and aerodynamic analysis of a flapping-wing micro aerial vehicle,*aerospace sciense and technology*,2009,pp. 383-392
6. M. F. Neff and D. Hummel, "euler solutions for a finite-span flapping wing," in *conference on fixed flapping and rotary wing vehicles at very low reynolds numbers*, 2000, pp. 5-7.

This document was created with Win2PDF available at <http://www.daneprairie.com>.
The unregistered version of Win2PDF is for evaluation or non-commercial use only.